

تأثیر پارامترهای فرایند کوئنچ و پارتیشن‌بندی بر ریزساختار و کسر آستنیت باقیمانده

عبدالله شیرعلی^{*}، عباس هنریخیش رئوف و سهیلا براز بنابی

دانشکده مهندسی مواد و متالورژی، دانشگاه سمنان

(دریافت مقاله: ۱۳۹۲/۰۹/۰۲ - دریافت نسخه نهایی: ۱۳۹۲/۱۲/۲۱)

چکیده - مقدار معین آستنیت باقیمانده، انعطاف‌پذیری فولادها را به دلیل پدیده TRIP در طول تغییر شکل پلاستیک، افزایش می‌دهد. یک روش برای دست‌یابی به مقدار قابل توجه آستنیت باقیمانده در فولاد، پارتیشن‌بندی کربن به آستنیت است که باعث پایدارسازی آستنیت در دمای اتاق می‌شود. عملیات حرارتی کوئنچ و پارتیشن‌بندی (Q&P) با استفاده از این روش، منجر به ریزساختاری شامل مارتزیت و آستنیت باقیمانده پایدار شده بین صفحات مارتزیت می‌شود و بنابراین ترکیب بهتری از استحکام و انعطاف‌پذیری را فراهم می‌کند. در این پژوهش، تأثیر پارامترهای فرایند Q&P (دمای کوئنچ، دمای پارتیشن‌بندی و زمان پارتیشن‌بندی) بر ریزساختار و کسر آستنیت باقیمانده یک فولاد کربن متوسط کم آبیاز بررسی شده است. نتایج نشان داد که افزایش زیاد زمان پارتیشن‌بندی، موجب از بین رفتن تیغه‌های مارتزیت و کاهش کسر آستنیت می‌شود. با افزایش دمای پارتیشن‌بندی، لایه‌های آستنیت باقیمانده ضخیم‌تر می‌شود و کسر حجمی آستنیت باقیمانده افزایش می‌یابد. از طرف دیگر، با افزایش دمای کوئنچ، غلظت کربن آستنیت باقیمانده به شدت افزایش می‌یابد.

واژگان کلیدی: Q&P، پارتیشن‌بندی، ریزساختار، آستنیت باقیمانده، مارتزیت

Influence of Parameters of Quenching and Partitioning Process on Microstructure and Fraction of Retained Austenite

A. Shirali^{*}, A. Honarbakhsh Raouf and S. Bazzaz Bonabi

Faculty of Metallurgy and Materials Engineering, Semnan University, Semnan, Iran

Abstract: Certain amount of retained austenite can increase ductility of steels because of the TRIP phenomenon during plastic deformation. One method for achieving this is partitioning of carbon into austenite to stabilize it at room temperature. The quenching and partitioning (Q&P) heat treatment leads to a microstructure consisting of martensite and stabilized retained austenite between martensite plates, which provides a better combination of strength and ductility. In this study, the effect of parameters of Q&P process (quenching temperature, partitioning temperature and partitioning time) on the microstructure and retained austenite volume fraction of a low alloy medium carbon steel was investigated. The results showed that the high increase in partitioning time causes the disappearance of martensite blades and reduction of austenite volume fraction. However, increasing

* مسئول مکاتبات، پست الکترونیکی: a.shirali90@yahoo.com

of partitioning temperature made the retained austenite films become thicker and its volume fraction increase. On the other hand, by increasing the quenching temperature, carbon content of retained austenite increased sharply.

Keywords: Equal Q&P, Partitioning, Microstructure, Retained Austenite, Martensite

می شود [۳-۱].

فولادهای کوئنچ و پارتيشن‌بندی شده، معمولاً شامل آستنیت پایدار شده پر کربن و مارتنتزیت تخلیه شده از کربن است که با هم، باعث افزایش استحکام بدون به خطر افتادن انعطاف‌پذیری می‌شوند. در فرایند Q&P، کترل کامل کسر مارتنتزیت (فاز قوی) و افزایش کربن آستنیت، امکان‌پذیر است. فرایند کوئنچ و پارتيشن‌بندی شامل چهار مرحله است:

(۱) آستنیته کردن کامل یا جزئی،

(۲) کوئنچ سریع تا دمای پایین‌تر از دمای شروع مارتنتزیت (M_f) اما بالاتر از دمای پایان مارتنتزیت (M_s) برای تولید کسر حجمی کترل شده مارتنتزیت فوق اشباع و آستنیت تبدیل نشده،

(۳) پارتيشن‌بندی بعدی در دمای کوئنچ (عملیات تک مرحله‌ای) یا بالاتر از دمای M_s (عملیات دو مرحله‌ای) برای نفوذ کامل کربن از مارتنتزیت به آستنیت باقی‌مانده. در طول این مرحله، با تخلیه کربن لایه‌های مارتنتزیت، کربن آستنیت افزایش می‌یابد و اجازه پایدارسازی آستنیت در دمای اتاق را می‌دهد و (۴) کوئنچ تا دمای اتاق که آستنیت با پایداری کم‌تر به مارتنتزیت تبدیل می‌شود، در حالی که آستنیتی که به قدر کافی کربنش افزایش یافته باشد در دمای اتاق باقی‌ماند [۶-۴].

در نتیجه ریزساختار پایانی شامل فریت (در مورد آستنیتی کردن جزئی)، مارتنتزیت و آستنیت باقی‌مانده است. البته ریزساختار فولاد پس از کاربرد فرایند Q&P، به پارامترهای عملیات حرارتی (دمای کوئنچ: QT، زمان کوئنچ: Qt، دمای پارتيشن‌بندی: PT و زمان پارتيشن‌بندی: Pt) و ریزساختار اولیه پیش از کاربرد فرایند بستگی دارد. مقدار آستنیت پایانی ممکن است در کوئنچ تا دمای اتاق اصلاح شود، که بستگی به پایداری آستنیت به دست آمده در طول مرحله پارتيشن‌بندی دارد [۷ و ۸].

برای دست‌یابی به ریزساختاری شامل مارتنتزیت و آستنیت

۱- مقدمه

در چند دهه گذشته، فولادهای میکروآلیاژی کم آلیاژ استحکام بالا، فولادهای مارتنتزیتی و فولادهای دوفازی با استحکام بالاتر از فولادهای C-Mn، مورد توجه قرار گرفته‌اند. از طرفی، فولادهای استحکام بالای پیشرفت (AHSS) که دارای یک زمینه فریت-بینیت با مقادیر کمی مارتنتزیت و آستنیت باقی‌مانده‌اند نیز به دنبال آن توسعه یافته‌اند. این فولادها با عنوان فولادهای با پلاستیسیته ناشی از دگرگونی فازی (TRIP)، ترکیبی از انعطاف‌پذیری و استحکام بالا را نشان می‌دهند. فولادهای با پلاستیسیته ناشی از دوقلویی شدن (TWIP)، نسل دوم فولادهای AHSS هستند که انعطاف‌پذیری و استحکام بالا را از طریق ریزساختار بر پایه آستنیت ایجاد کرده‌اند. به‌طور کلی فولادهای دارای مقدار قابل توجه آستنیت باقی‌مانده، در طول کرنش‌دهی با افزایش در نرخ کرنش سختی، به تدریج به مارتنتزیت تبدیل می‌شوند، به‌طوری که این فولادها با ترکیب انعطاف‌پذیری بالا-استحکام بالا شناخته شده‌اند. در واقع، مقدار معین آستنیت باقی‌مانده، به عنوان جزء بحرانی فولادهای تجاری، می‌تواند انعطاف‌پذیری و چقرمگی فولادها را به دلیل پدیده TRIP در طول تغییرشکل پلاستیک، افزایش دهد. روش سنتی برای دست‌یابی به مقدار قابل توجه آستنیت باقی‌مانده با کربن افزوده در فولاد، افزایش مقدار کربن فولاد است، زیرا کربن تأثیر شدیدی بر کاهش دمای شروع مارتنتزیت و افزایش پایداری آستنیت دارد. اگرچه، مقدار کربن زیاد در فولاد برای انعطاف‌پذیری و قابلیت جوش‌کاری، مضر است. در این زمینه، در سال ۲۰۰۳، اسپیر^۱ و همکارانش یک فرایند عملیات حرارتی جدید را بر بنای نفوذ کربن از مارتنتزیت به آستنیت باقی‌مانده تعریف کردند و فرایند با عنوان "کوئنچ و پارتيشن‌بندی (Q&P)" نام‌گذاری شد تا از کوئنچ و تمپر کردن (QT&P) متمایز باشد. فرایند Q&P در نسل سوم AHSS طبقه‌بندی

جدول ۱- ترکیب شیمیایی فولاد ۱.۵۱۴۲ (wt.%)

C	Si	Mn	Cr	Ni	P	S	Mo	Al	Co	Cu	Fe
۰/۶۳۹	۰/۹۹۳	۱/۰۳	۰/۳۰۵	۰/۱۳۸	۰/۰۰۸	۰/۰۵	۰/۰۳۳	۰/۰۲۵	۰/۰۱	۰/۰۹۹	باقیه

پارامترهای فرایند) این فولاد کربن متوسط کم آلیاژی که تحت فرایند Q&P عملیات حرارتی شده مورد بررسی قرار گرفته است.

۲- روش پژوهش

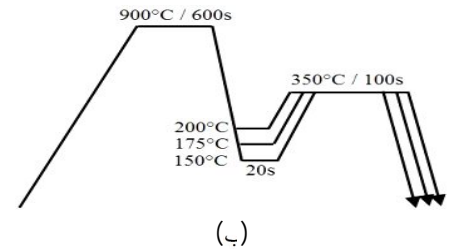
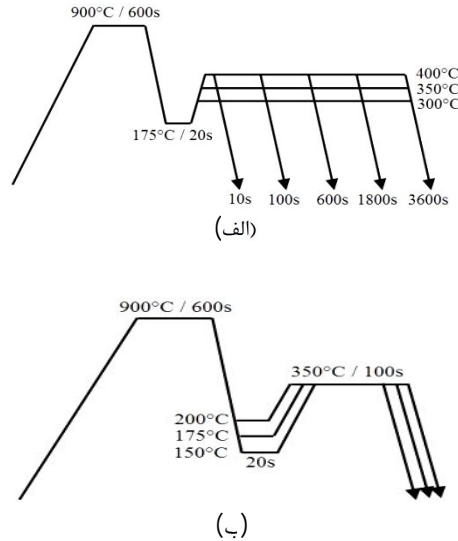
با توجه به محدودیت‌های ترکیب شیمیایی در فرایند Q&P، در این پژوهش، فولاد با استاندارد ۱.۵۱۴۲ انتخاب شد. جدول ۱ نشان‌دهنده ترکیب شیمیایی این فولاد است.

برای انجام عملیات حرارتی، نیاز به تعیین دماهای بحرانی است. دماهای بحرانی را با توجه به ترکیب شیمیایی فولاد و با استفاده از روابط تجربی می‌توان محاسبه کرد. به عنوان مثال، دمای شروع مارتنزیت (M_s) با استفاده از رابطه تجربی ۱ [۹]، 256°C بدست آمد.

$$M_s(^{\circ}\text{C}) = 542.5 - 350\text{C} - 45\text{Mn} - 30\text{Cr} - 20\text{Ni} - 5\text{Si} \quad (1)$$

پس از برش نمونه‌هایی با طول و قطر به ترتیب ۱۰ و ۲۰ میلی‌متر از ماده اولیه و تعیین دماهای بحرانی، فرایند Q&P روی نمونه‌های مختلف انجام شد. مرحله آستینیت کردن کامل در دمای 900°C به مدت ۶۰۰ ثانیه انجام شد. سپس در یک کوره الکتریکی و مرحله کوئنچ در دماهای 150°C ، 175°C و 200°C به مدت ۲۰ ثانیه انجام شد. مرحله پارسیشن‌بندی در دماهای یک حمام نمک انجام شد. مرحله پارسیشن‌بندی در دماهای 300°C ، 350°C و 400°C و زمان‌های متفاوت و با استفاده از حمام نمک مرکب از نیترات پتاسیم و نیترات سدیم با درصد وزنی مشخص انجام شد. کوئنچ پایانی تا دماهای اتاق، در آب انجام گرفت.

در واقع عملیات به دو فاز تقسیم شد. فاز اول شامل QT (دمای کوئنچ) ثابت، PT (دمای پارسیشن‌بندی) متغیر و Pt (زمان پارسیشن‌بندی) متغیر بود که تأثیر مرحله پارسیشن‌بندی بررسی شد. شکل ۱-الف، نشان‌دهنده عملیات Q&P طراحی شده با



شکل ۱- شکل نمادین چرخه‌های طراحی شده برای:
الف) فرایند Q&P با دمای کوئنچ ثابت و ب) فرایند
با شرایط پارسیشن‌بندی ثابت

باقي مانده، بایستی دگرگونی آستینیت به فریت و یا بینیت و هم‌چنین رسوب کاربید در طول مرحله پارسیشن‌بندی، کاملاً متوقف شود. بنابراین فولاد باید دارای عناصر آلیاژی مثل منگنز و سیلیسیم باشد. هم‌چنین فولاد مورد استفاده در فرایند Q&P بایستی دارای مقدار کربن بالا برای مرحله پارسیشن‌بندی و پایدارسازی حرارتی آستینیت باقی مانده در دمای اتاق باشد، زیرا مقدار کربن بالاتر منجر به پایداری بهتر آستینیت باقی مانده پایانی در طول سرد کردن تا دمای اتاق می‌شود [۵].

از آن جایی که گزارش‌های انگشت‌شماری در مورد عملیات Q&P برای فولادهای کربن متوسط و به‌ویژه فولاد ۱.۵۱۴۲ وجود دارد، در این پژوهش، رفتار فیزیکی و مکانیکی (ریزساختار و کسر آستینیت باقی مانده با تغییر

۳- نتایج و بحث

۳-۱- ریزساختار

شکل ۲، ریزساختارهای فولاد را پس از انجام فرایند Q&P در دمای پارتيشن‌بندی 350°C و زمان‌های متفاوت نشان می‌دهد. در این شکل، جزء تیره، مارتزیت و جزء روشن، آستنیت باقی‌مانده به شکل لایه‌های نازک بین تیغه‌های مارتزیت و به شکل بلوکی موجود است و افزایش زمان پارتيشن‌بندی، به تدریج موجب طریف‌شدن و از بین رفتن تیغه‌های مارتزیت می‌شود. در زمان‌های پارتيشن‌بندی طولانی (شکل ۲-ت)، ساختار به شکل مارتزیت تمپر شده مشاهده می‌شود که در توافق با پژوهش‌های انجام شده توسط سانتوفیمی^۳ و همکارانش [۱۲] است. این مشاهدات نشان می‌دهد که در زمان‌های زیاد پارتيشن‌بندی، پایدارسازی آستنیت باقی‌مانده کاهش می‌یابد.

شکل ۳، ریزساختارهای فولاد را پس از انجام فرایند Q&P در دو دمای پارتيشن‌بندی متفاوت نشان می‌دهد. همان‌طور که مشاهده می‌شود لایه‌های آستنیت باقی‌مانده موجود در بین لایه‌های مارتزیت با افزایش دمای پارتيشن‌بندی، رشد می‌کند و ضخیم‌تر می‌شود. کاهش آستنیت باقی‌مانده در دماهای پارتيشن‌بندی پایین، به دلیل رقابت با رسوب کاریید است.

شکل ۴ ریزساختارهای فولاد را پس از انجام فرایند Q&P در دو دمای کوئنچ متفاوت برای بررسی تأثیر مرحله کوئنچ در عملیات Q&P نشان می‌دهد. همان‌طور که مشاهده می‌شود با افزایش دمای کوئنچ، به دلیل نزدیک شدن به دمای M_s میزان فاز مارتزیت، کاهش و بر عکس فاز آستنیت باقی‌مانده افزایش می‌یابد.

۲-۳- کسر حجمی آستنیت باقی‌مانده

شکل ۵ نشان دهنده الگوی پراش یک نمونه پس از فرایند Q&P است. در این شکل، قله‌های (۱۱۰)، (۲۰۰)، (۲۱۱) و (۲۲۰) مارتزیت و قله‌های (۱۱۱)، (۲۰۰)، (۲۲۰) و (۳۱۱) آستنیت قابل مشاهده است. اگرچه ارتفاع دو قله (۲۲۰) و

دمای کوئنچ ثابت است. فاز دوم شامل PT ثابت، Pt پارتيشن‌بندی QT متغیر بود که اثر کوئنچ با پارتيشن‌بندی ثابت بررسی شد. شکل ۱-ب، نشان‌دهنده عملیات Q&P طراحی شده با شرایط پارتيشن‌بندی ثابت است.

برای مشاهده و بررسی ریزساختار، از میکروسکوپ نوری (OM) استفاده شد. محلول حکاکی مورد استفاده برای متالوگرافی، نایتال ۲٪ بود.

برای تعیین کسر حجمی آستنیت باقی‌مانده و غلظت کربن این فاز، از تحلیل پراش اشعه X (XRD) استفاده شد. آزمایش‌های پراش اشعه X (XRD) برای نمونه‌های مختلف، در دمای اتاق و با استفاده از دستگاه Bruker D8 و پرتوی Cu-K با طول موج $1/5406\text{ \AA}$ آنگستروم انجام شد. نمونه‌ها در بازه 2°C تا 30°C در یک اندازه گام 0.05° و 18 توقف در هر گام، اسکن شد. کسر حجمی آستنیت باقی‌مانده با استفاده از بازتاب‌های (۱۱۱)، (۲۰۰)، (۲۲۰) و (۳۱۱) آستنیت و بازتاب‌های (۱۱۰)، (۲۰۰)، (۲۱۱) و (۲۲۰) فریت (مارتزیت) و براساس رابطه ۲ محاسبه شد [۱۰].

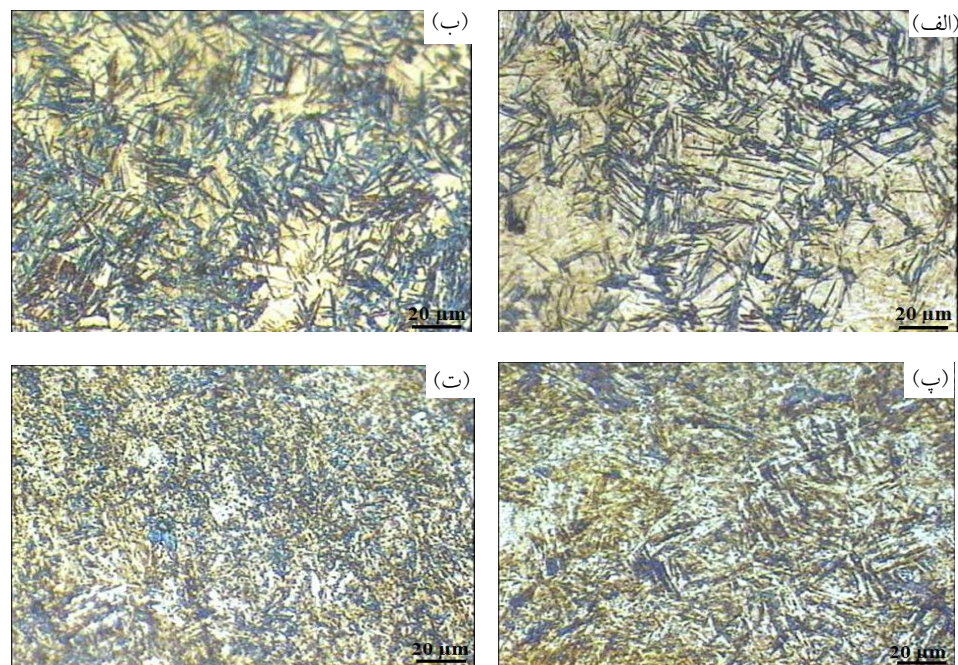
$$V_x = \frac{\left(\frac{1}{q} \sum_{j=1}^q \frac{I_{xj}}{R_{xj}} \right)}{\left(\frac{1}{p} \sum_{i=1}^p \frac{I_{ri}}{R_{ri}} \right) + \left(\frac{1}{q} \sum_{j=1}^q \frac{I_{xj}}{R_{xj}} \right)} \quad (2)$$

که در آن V ، کسر حجمی آستنیت باقی‌مانده، I و I_r به ترتیب شدت قله برای فازهای فریت (مارتزیت) و آستنیت، R ، فاکتور شدت نسبی نظری و p و q به ترتیب تعداد قله‌های پراش برای فازهای فریت و آستنیت است.

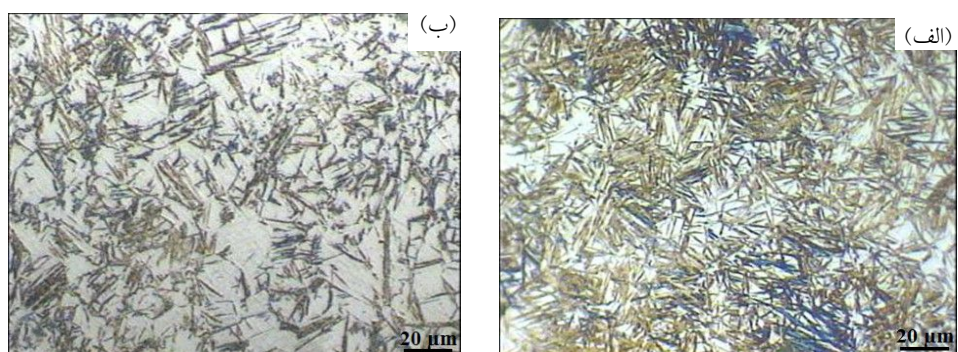
غلظت کربن آستنیت باقی‌مانده با استفاده از رابطه ۳ محاسبه شد [۵].

$$a = 0.3556 + 0.00453x_C + 0.000095x_Mn + 0.00056x_{Al} + 0.0006x_{Cr} - 0.0002x_{Ni} \quad (3)$$

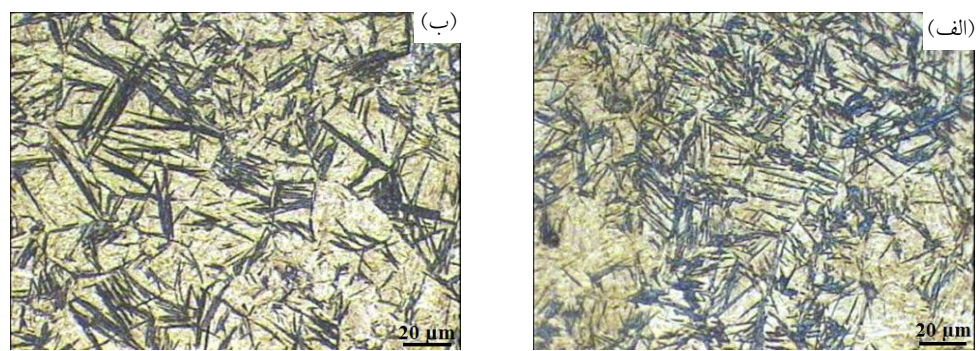
که در آن، a ، پارامتر شبکه آستنیت بر حسب نانومتر است و x_C ، x_{Ni} و x_{Cr} به ترتیب غلظت کربن، منگنز، آلومینیم، کروم و نیکل بر حسب درصد وزنی هستند. پارامتر شبکه آستنیت با استفاده از روش کوهن^۲ [۱۱] تعیین شد.



شکل ۲- تصویر میکروسکوپ نوری ریزساختار فولاد پس از کوئنچ در دمای 175°C به مدت ۲۰s و 350°C به مدت: (الف) ۱۰۰s، (ب) ۶۰۰s، (پ) ۱۸۰۰s و (ت) ۳۶۰۰s پارتيشن‌بندی در دمای 350°C



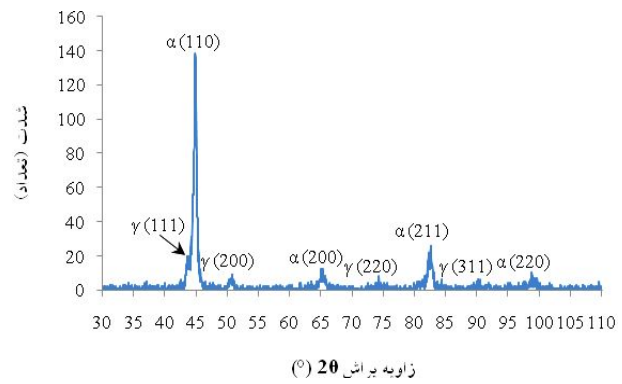
شکل ۳- تصویر میکروسکوپ نوری ریزساختار فولاد پس از کوئنچ در دمای 175°C به مدت ۲۰s و 400°C در مدت ۶۰۰s پارتيشن‌بندی به مدت: (الف) 300°C و (ب) 400°C



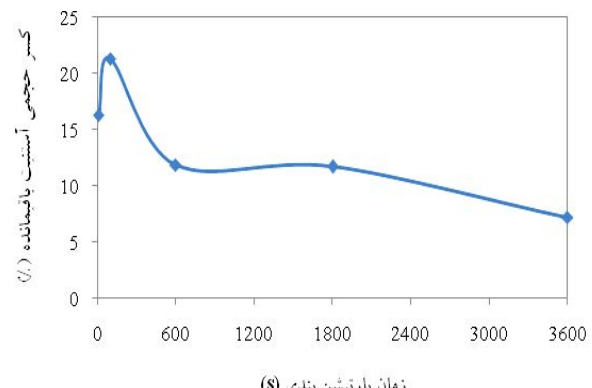
شکل ۴- تصویر میکروسکوپ نوری ریزساختار فولاد پس از کوئنچ در دمای: (الف) 175°C و (ب) 200°C به مدت ۲۰s و پارتيشن‌بندی در دمای 350°C به مدت ۱۰۰s

حجمی آستنیت باقیمانده قابل محاسبه است. کسرهای حجمی آستنیت باقیمانده به دست آمده پس از کوئنچ در 175°C به مدت 20s و پارتيشن‌بندی در 350°C برای زمان‌های پارتيشن‌بندی 20s و پارتيشن‌بندی در 350°C برای زمان‌های پارتيشن‌بندی 6s نشان داده شده است. بایستی اشاره شود که متفاوت در شکل ۶ نشان داده شده است. دمای اتصاق و نه در دمای پارتيشن‌بندی انجام شده است و مناطق آستنیت با مقدار کربن کمتر در طول کوئنچ پایانی به مارتنتزیت تبدیل می‌شود. بنابراین منطقی است تا فرض شود که کسر حجمی آستنیت موجود در ریزساختار در دمای پارتيشن‌بندی، بالاتر از نتایج آزمایشگاهی به دست آمده از اندازه‌گیری‌های دمای اتصاق خواهد بود. در واقع، هدف مرحله پارتيشن‌بندی، انتقال کربن از مارتنتزیت فوق اشباع به آستنیت و بنابراین افزایش پایداری گرمایی آستنیت است. شکل ۶، پایدارسازی سریع آستنیت در زمان‌های بسیار کوتاه را نشان می‌دهد، که سازگار با سیستمیک خروج سریع اتم‌های کربن از مارتنتزیت فوق اشباع به آستنیت تبدیل نشده، است [۱]. کسر آستنیت پس از پارتيشن‌بندی به مدت 100s ، 10% است و پس از پارتيشن‌بندی به مدت 16s به $16/3\%$ است و پس از پارتيشن‌بندی به مدت 2s به $21/3\%$ می‌رسد. پس از این زمان کوتاه پارتيشن‌بندی کربن، با افزایش بیشتر زمان پارتيشن‌بندی، کسر آستنیت کاهش می‌یابد، که می‌تواند به دلیل فرایندهای رقابتی مثل رسوب کاریید در فصل مشترک‌های مارتنتزیت / آستنیت و یا دگرگونی بینیتی باشد [۱].

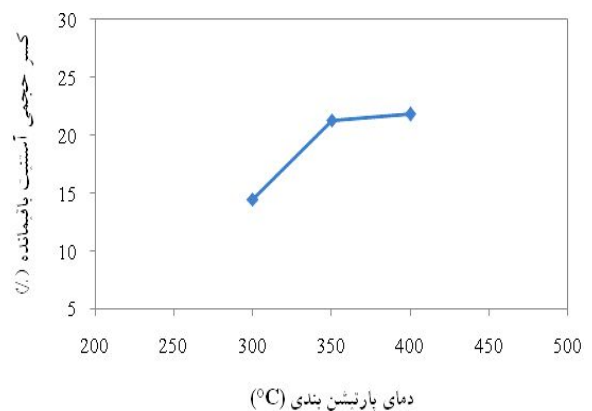
شکل ۷، کسر حجمی آستنیت باقیمانده را در دماهای پارتيشن‌بندی 200°C ، 300°C ، 350°C و 400°C نشان می‌دهد. همان‌طور که از شکل مشخص است، با افزایش دمای پارتيشن‌بندی، کسر حجمی آستنیت باقیمانده نیز افزایش می‌یابد، زیرا سرعت نفوذ کربن در فولادها با افزایش دما، زیاد می‌شود [۱۳]. بنابراین نفوذ کربن از مارتنتزیت به آستنیت، آسان‌تر می‌شود و افزایش کربن در آستنیت در دمای پارتيشن‌بندی بالا شتاب می‌گیرد و این فاز در طول سرد کردن پایانی پایدار خواهد ماند. البته در دمای پارтиشن‌بندی بالاتر و نزدیک به دمای شروع بینیت، احتمال وقوع دگرگونی بینیت و



شکل ۵- الگوی پراش نمونه کوئنچ شده در دمای 175°C به مدت 2s و پارتيشن‌بندی شده در دمای 400°C به مدت 100s



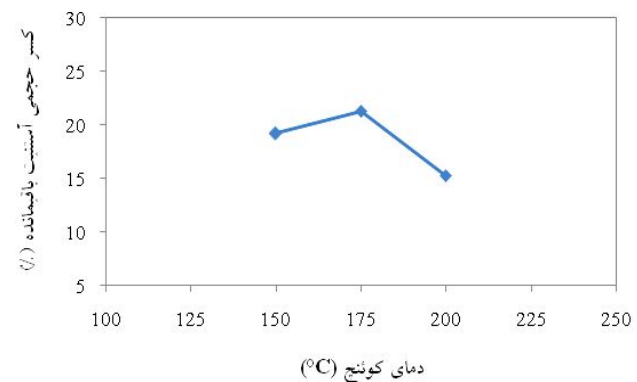
شکل ۶- تغییر کسر آستنیت باقیمانده به صورت تابعی از زمان پارتيشن‌بندی



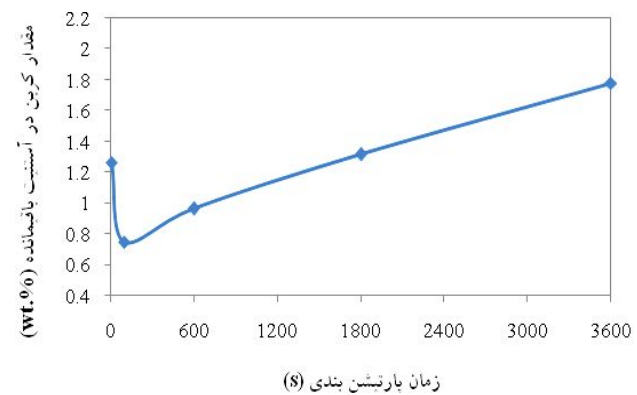
شکل ۷- تغییر کسر آستنیت باقیمانده به صورت تابعی از دمای پارتيشن‌بندی

(۳۱) آستنیت، نسبت به سایر قله‌های پراش، کم است. با توجه به شدت قله‌ها در الگوهای پراش و با استفاده از رابطه ۲، کسر

دماهی کوئنچ، مشابه روش شناسی^۴ انتخاب دمای کوئنچ بهینه برای بیشینه کردن نگهداری و پایدارسازی آستنیت پس از عملیات Q&P است [۱]. این شکل، دمای کوئنچ بهینه 175°C را برای ارائه مقدار بیشینه آستنیت باقیمانده نشان می‌دهد. در دماهای کوئنچ بالای دمای 175°C ، پس از کوئنچ اولیه، آستنیت تبدیل نشده قابل توجهی باقی می‌ماند، به‌طوری که در طول کوئنچ پایانی تا دمای اتفاق به مارتزیت تبدیل می‌شود. در دماهای کوئنچ پایین دمای 175°C ، توسط کوئنچ اولیه، آستنیت بسیار زیادی تبدیل به مارتزیت می‌شود. در واقع، در دمای کوئنچ 175°C ، از تشکیل مارتزیت در طول کوئنچ پایانی جلوگیری شده است.



شکل ۸- تغییر کسر آستنیت باقیمانده به صورت تابعی از دمای کوئنچ



شکل ۹- تغییر غلظت کربن آستنیت باقیمانده به صورت تابعی از زمان پارسیشن‌بندی

۳-۳- غلظت کربن آستنیت باقیمانده
برای تعیین غلظت کربن فاز آستنیت باقیمانده، از تحلیل XRD و رابطه^۳ استفاده شد. مقدار کربن این فاز برای هر نمونه با میانگین‌گیری از چهار قله (111) , (200) , (220) و (311) آستنیت گزارش شده است. جدول ۲ نشان‌دهنده کسر حجمی، مقدار کربن فاز آستنیت باقیمانده و حاصل‌ضرب این دو مقدار برای شرایط مختلف فرایند Q&P است.

شکل ۹، غلظت کربن آستنیت باقیمانده را پس از کوئنچ در 175°C به مدت 20s و پارسیشن‌بندی در 350°C برای زمان‌های پارسیشن‌بندی متفاوت نشان می‌دهد. غلظت کربن در آستنیت از حرکت فصل مشترک آستنیت / مارتزیت باعث کاهش کسر آستنیت شود [۱۴]. در دمای پارسیشن‌بندی پایین نیز، اثر رسوب کاربید انتقالی، بیشینه آستنیت باقیمانده قابل دست‌یابی توسط عملیات Q&P را به گونه‌ای چشم‌گیر کاهش می‌دهد. در واقع بیشینه کسر حجمی آستنیت باقیمانده، در زمان‌های کوتاه‌تر برای دماهای پارسیشن‌بندی بالاتر به دست آمده است، که در توافق با سیتیک مورد انتظار پارسیشن‌بندی کربن است.

شکل ۸ کسر حجمی آستنیت باقیمانده را در دماهای کوئنچ 150°C , 175°C و 200°C نشان می‌دهد. همان‌طور که از شکل مشخص است، تغییر کسر حجمی آستنیت باقیمانده با

جدول ۲- کسر حجمی و مقدار کربن آستینیت باقیمانده برای شرایط مختلف فرایند (QT و Pt، دما و زمان کوئنچ و PT و زمان پارسیشن‌بندی است)

نمونه	عملیات				کسر حجمی آستینیت باقیمانده	غلظت کربن آستینیت باقیمانده (wt.%)	کسر حجمی × غلظت کربن آستینیت باقیمانده
	QT (°C)	Qt (s)	PT (°C)	Pt (s)			
۱	۱۵۰	۲۰	۳۵۰	۱۰۰	۰/۱۹۲	۰/۵۵۴	۰/۱۰۶
۲	۱۷۵	۲۰	۳۵۰	۱۰۰	۰/۲۱۳	۰/۷۴۸	۰/۱۵۹
۳	۲۰۰	۲۰	۳۵۰	۱۰۰	۰/۱۵۳	۱/۰۵۱	۰/۱۶۱
۴	۱۷۵	۲۰	۳۰۰	۱۰۰	۰/۱۴۵	۰/۷۶۰	۰/۱۱۰
۵	۱۷۵	۲۰	۳۵۰	۱۰	۰/۱۶۳	۱/۲۶۴	۰/۲۰۶
۶	۱۷۵	۲۰	۳۵۰	۶۰۰	۰/۱۱۹	۰/۹۶۳	۰/۱۱۵
۷	۱۷۵	۲۰	۳۵۰	۱۸۰۰	۰/۱۱۷	۱/۳۱۵	۰/۱۵۴
۸	۱۷۵	۲۰	۳۵۰	۳۶۰۰	۰/۰۷۲	۱/۷۸۰	۰/۱۲۸
۹	۱۷۵	۲۰	۴۰۰	۱۰۰	۰/۲۱۸	۰/۸۹۹	۰/۱۹۶

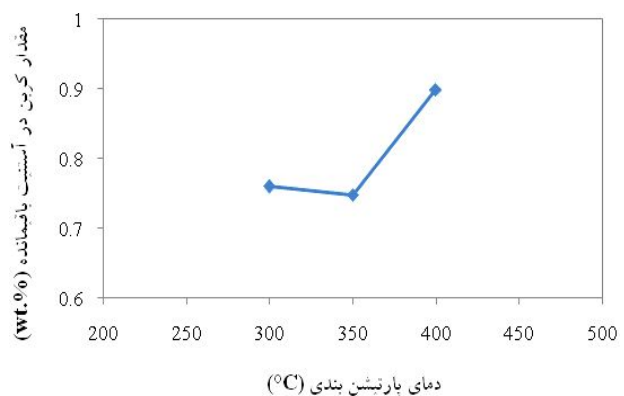
نشان داده شده است. همان‌طور که اشاره شد افزایش دمای پارسیشن‌بندی، باعث افزایش سرعت نفوذ کربن از مارتزیت به آستینیت و افزایش کربن در آستینیت می‌شود، به طوری که غلظت کربن آستینیت باقیمانده در دمای 400°C به بیشترین مقدار (۰/۸۹۹wt.%) می‌رسد. با توجه به جدول ۲، مقدار کربن آستینیت در این دما $196\text{wt.}\%$ مقدار کل کربن است.

شکل ۱۱، غلظت کربن آستینیت باقیمانده را در دماهای 150°C ، 175°C و 200°C نشان می‌دهد. همان‌طور که از شکل مشخص است، با افزایش دمای کوئنچ، غلظت کربن آستینیت باقیمانده از $554\text{wt.}\%$ تا $0/051\text{wt.}\%$ بهشت افزایش می‌یابد و در دمای کوئنچ 200°C ، $161\text{wt.}\%$ از مقدار کل کربن فولاد، در محلول جامد در آستینیت است.

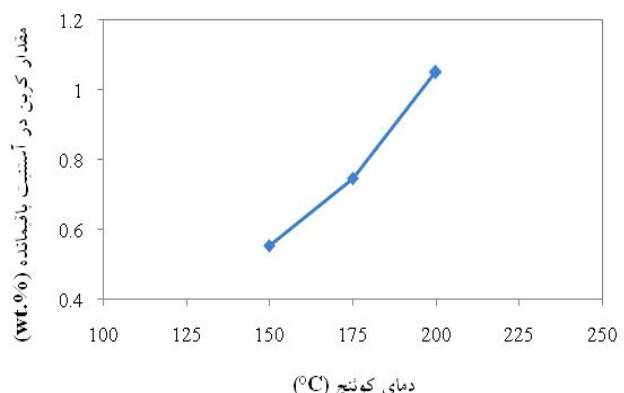
۴- نتیجه گیری

در این پژوهش، تأثیر پارامترهای فرایند Q&P روی ریزساختار، کسر حجمی و غلظت کربن آستینیت باقیمانده بررسی شده است. نتایج به دست آمده به شرح زیر است:

- افزایش زمان پارسیشن‌بندی، باعث ظرفی شدن و از بین رفتن تیغه‌های مارتزیت و تبدیل ساختار به شکل مارتزیت



شکل ۱۰- تغییر غلظت کربن آستینیت باقیمانده به صورت تابعی از دمای پارسیشن‌بندی



شکل ۱۱- تغییر غلظت کربن آستینیت باقیمانده به صورت تابعی از دمای کوئنچ

- آستنیت و افزایش غلظت کربن آستنیت، افزایش می‌یابد.
- تغییر کسر حجمی آستنیت باقی‌مانده با دمای کوئنچ، مشابه روش‌شناسی انتخاب دمای کوئنچ بهینه است و با افزایش دمای کوئنچ، غلظت کربن آستنیت به شدت افزایش می‌یابد.
- با افزایش زمان پارتيشن‌بندی، غلظت کربن در آستنیت ابتدا کاهش و سپس مرتب افزایش می‌یابد که نشان‌دهنده تخلیه و پارتيشن‌بندی بیشتر است.

تمپر شده می‌شود و افزایش دمای پارتيشن‌بندی باعث رشد لایه‌های آستنیت باقی‌مانده می‌شود.

- کسر آستنیت پس از پارتيشن‌بندی در مدت زمان کوتاه به‌یک مقدار بیشینه می‌رسد و سپس به‌دلیل فرایندهای رقابتی، کاهش می‌یابد.
- با افزایش دمای پارتيشن‌بندی، کسر حجمی آستنیت باقی‌مانده، به‌دلیل افزایش سرعت نفوذ کربن از مارتزیت به

واژه‌نامه

- | | |
|----------|----------------|
| 1. Speer | 3. Santofimia |
| 2. Cohen | 4. methodology |

مراجع

1. Edmonds, D.V., He, K., Rizzo, F.C., De Cooman, B.C., Matlock D.K. and Speer, J.G., "Quenching and Partitioning Martensite- A Novel Steel Heat Treatment", *Materials Science and Engineering A*, Vols. 438-440, pp. 25-34, 2006.
2. Li, H.Y., Lu, X.W., Wu, X.C., Min Y.A. and Jin, X.J., "Bainitic Transformation during the Two-Step Quenching and Partitioning Process in A Medium Carbon Steel Containing Silicon", *Materials Science and Engineering A*, Vol. 527, pp. 6255-6259, 2010.
3. Jirková, H., Ku erová, L. and Mašek, B., "Effect of Quenching and Partitioning Temperatures in the Q-P Process on the Properties of AHSS with Various Amounts of Manganese and Silicon", *Materials Science Forum*, Vols. 706-709, pp. 2734-2739, 2012.
4. Liu, H., Jin, X., Dong, H. and Shi, J., "Martensitic Microstructural Transformations from the Hot Stamping, Quenching and Partitioning Process", *Materials Characterization*, Vol. 62, pp. 223-227, 2011.
5. Santofimia, M.J., Zhao, L., Petrov, R., Kwakernaak, C., Sloof, W.G. and Sietsma, J., "Microstructural Development during the Quenching and Partitioning Process in a Newly Designed Low-Carbon Steel", *Acta Materialia*, Vol. 59, pp. 6059-6068, 2011.
6. Yang, L., Yu-peng, L., Chong, W., Shi-tong, L. and Lu-bin, C., "Phase Stability of Residual Austenite in 60Si2Mn Steels Treated by Quenching and Partitioning", *Journal of Iron and Steel Research, International*, Vol. 18, No. 2, pp. 70-74, 2011.
7. Clarke, A.J., Speer, J.G., Matlock, D.K., Rizzo, F.C., Edmonds, D.V. and Santofimia, M.J., "Influence of Carbon Partitioning Kinetics on Final Austenite Fraction during Quenching and Partitioning", *Scripta Materialia*, Vol. 61, pp. 149-152, 2009.
8. Santofimia, M.J., Zhao, L., Petrov, R. and Sietsma, J., "Characterization of the Microstructure Obtained by the Quenching and Partitioning Process in a Low-Carbon Steel", *Materials Characterization*, Vol. 59, pp. 1758-1764, 2008.
9. Nayak, S.S., Anumolu, R., Misra, R.D.K., Kim, K.H. and Lee, D.L., "Microstructure-Hardness Relationship in Quenched and Partitioned Medium-Carbon and High-Carbon Steels Containing Silicon", *Materials Science and Engineering A*, pp. 442-456, 2008.
10. Jatczak, C.F., Larson, J.A. and Shin, S.W., *Retained Austenite and Its Measurement by X-Ray Diffraction*, Manual SP-452, SAE, 1979.
11. Cullity, B.D., *Elements of X-ray Diffraction*, Addison-Wesley Publishing Company Inc., Reading, Massachusetts, 1956.
12. Santofimia, M.J., Zhao, L. and Sietsma, J., "Microstructural Evolution of a Low-Carbon Steel during Application of Quenching and Partitioning Heat Treatments after Partial Austenitization", *Metallurgical and Materials Transactions A*, Vol. 40A, pp. 46-57, 2009.
13. Wang, C.Y., Zhang, Y.J., Cao, W.Q., Shi, J., Wang, M.Q. and Dong, H., "Austenite/Martensite Structure and Corresponding Ultrahigh Strength and High Ductility of Steels Processed by Q&P Techniques", *Science China, Technological Sciences*, Vol. 55, No. 7, pp. 1844-1851, 2012.
14. De Moor, E., Lacroix, S., Clarke, A.J., Penning, J. and Speer, J.G., "Effect of Retained Austenite Stabilized via Quench and Partitioning on the Strain Hardening of Martensitic Steels", *Metallurgical and Materials Transactions A*, Vol. 39A, pp. 2586-2595, 2008.

